

<http://journal.rmutp.ac.th/>

การย่อยสลายภายในตัวสภาวะไร้อากาศของสารอินทรีย์ประเภท เศษอาหารเข้มข้นในกระบวนการผลิตแก๊สชีวภาพ

พชรี อินธนู* และ จิตติยา แทนคำ

คณะวิทยาศาสตร์ มหาวิทยาลัยแม่โจ้
63 ตำบลหนองหาร อำเภอสันทราย จังหวัดเชียงใหม่ 50290

รับบทความ 23 มกราคม 2017; ตอบรับบทความ 13 มีนาคม 2017

บทคัดย่อ

งานวิจัยนี้ทำการศึกษาการย่อยสลายสารอินทรีย์ประเภทเศษอาหารเข้มข้นที่ผ่าน และไม่ผ่านการบด ด้วยเชื้อจุลินทรีย์ผสมในกระบวนการหมักแบบไร้อากาศ ภายใต้อุณหภูมิเม็ดฟลิก (37 องศาเซลเซียส) โดยไม่มีการควบคุมความเป็นกรดด่าง (pH) และมีการควบคุมค่าความเป็นกรดด่างของเศษอาหารเข้มข้นที่ 6.20 และ 7.00 จากการศึกษาพบว่าเชื้อจุลินทรีย์ผสมที่มีความเข้มข้นเริ่มต้น 2,100 มิลลิกรัมต่อลิตร สามารถย่อยสลายสารอินทรีย์ประเภทเศษอาหารเข้มข้นที่ผ่านการบดอย่างมีประสิทธิภาพกว่าการย่อยเศษอาหารเข้มข้นที่ไม่ผ่านการบด เนื่องจาก เมื่อทำการบดเศษอาหารจะทำให้พื้นที่ผิวเพิ่มขึ้น 1.37 เท่า และสภาวะที่เหมาะสมต่อการเจริญเติบโตของเชื้อจุลินทรีย์ คือ สภาวะที่มีความเป็นกรดด่างที่ 7.00 ซึ่งแสดงให้เห็นในรูปของประสิทธิภาพการย่อยสลายสารอินทรีย์ (% COD removal) ที่เพิ่มขึ้นร้อยละ 18.81 และสอดคล้องกับรายการเกิดแก๊สมีเทนที่สูงขึ้นคิดเป็นร้อยละ 19.10

คำสำคัญ : แก๊สชีวภาพ; เชื้อจุลินทรีย์ผสม; กระบวนการหมักแบบไร้อากาศ; เชื้อจุลินทรีย์ชนิดผลิตมีเทน

* ผู้อิพนธ์ประจำงาน โทร: +668 9555 2731, ไบรณีอิเล็กทรอนิกส์: tle_turn@hotmail.com

<http://journal.rmutp.ac.th/>

Anaerobic Digestion of Concentrated Food Waste in Biogas Production System

Patcharee Intanoo* and Jittiya Tankam

Faculty of Science, Maejo University
63 Nonghan, Sansai, Chiang Mai, 50290

Received 23 January 2017; accepted 13 March 2017

Abstract

The purposes of this research were to investigate anaerobic digestion of concentrated food waste in biogas production system at mesophilic temperature (37 °C). The effect of grinding and pH controlled at 6.20 and 7.00 on methane production were also studied. It was found that the ability of mix bacteria, which had initial concentration of 2,100 mg/l, for digesting concentrated food waste with grinding was higher than that without grinding because of the increase in surface area (about 1.37 time). In this system, the optimum condition for bacteria growth was found at pH 7.00. Under optimal condition, the digestion efficiency in term of chemical oxygen demand (COD) removal was 18.81% higher corresponding to an increase in methane production rate (19.10%) than other conditions.

Keywords : Biogas; Mixed Culture; Anaerobic Digestion; Methanogens

* Corresponding Author. Tel.: +668 9555 2731, E-mail Address: tle_turn@hotmail.co

1. บทนำ

ปัจจุบันพลังงานเป็นสิ่งสำคัญในการดำรงชีวิต ของมนุษย์โดยเฉพาะอย่างยิ่งตัวขับเคลื่อนเศรษฐกิจ และการพัฒนาประเทศ ซึ่งพลังงานที่ใช้ทั่วไปเป็น พลังงานที่มาจากการฟอสซิล เรียกว่า พลังงานฟอสซิล พลังงานฟอสซิลเป็นพลังงานที่เกิดจากการทับถมของ สิ่งมีชีวิตภายในดินที่ผ่านไปมาหลายร้อยปีเพื่อ เปลี่ยนสิ่งมีชีวิตเหล่านี้เป็นเชื้อเพลิงฟอสซิล เชื้อเพลิง ฟอสซิลเป็นเชื้อเพลิงที่ใช้แล้วหมดไปและไม่สามารถหา ลิ่งอื่นมาทดแทนได้ มากไปกว่านั้นเมื่อเชื้อเพลิงฟอสซิล ถูกเผาไหม้เพื่อการใช้งานมักเกิดมลพิษทางสิ่งแวดล้อม เช่น แก๊สคาร์บอนไดออกไซด์ แก๊สมีเทน และแก๊ส ซัลไฟร์ไดออกไซด์ เป็นต้น [1] ดังนั้นในหลายประเทศ จึงเริ่มให้ความสนใจเกี่ยวกับพลังงานสะอาดที่มาจาก ธรรมชาติ เช่น พลังงานแสงอาทิตย์ พลังงานลม และ พลังงานชีวมวล ซึ่งเป็นพลังงานที่ก่อให้เกิดมลพิษต่ำ สิ่งแวดล้อมน้อย อย่างไรก็ตามพลังงานทดแทนที่มา จากแสงอาทิตย์และลมเป็นพลังงานทดแทนที่ไม่ ต่อเนื่องซึ่งขึ้นอยู่กับลักษณะภูมิประเทศ และลักษณะ ภูมิอากาศของประเทศไทยนั้นๆ จึงทำให้พลังงานชีวภาพ เป็นพลังงานที่นักวิจัยส่วนใหญ่ให้ความสนใจ เนื่องจาก ในกระบวนการผลิตพลังงานชีวภาพเป็นการนำ วัสดุเหลือทิ้งต่างๆ มาผ่านกระบวนการหมักโดยมี เชื้อจุลทรรศ์ช่วยในการย่อยสลายภายใน กระบวนการ ไร้อากาศที่อุณหภูมิปกติ โดยระหว่างกระบวนการ ย่อยสลายของสารอินทรีย์นั้นจุลทรรศ์จะมีการปลด ปล่อยพลังงานออกมายังรูปแบบของแก๊สมีเทน แก๊ส คาร์บอนไดออกไซด์ และไนโตรเจน เรียกว่า แก๊สชีวภาพ และสามารถนำมาใช้ประโยชน์ในด้านต่างๆ ต่อไป [2]

กระบวนการย่อยสลายภายใน กระบวนการหมักแบ่งออกเป็น 4 ขั้นตอนหลัก ต่อเนื่องกัน คือ กระบวนการไฮโดรไลซิสเป็นการย่อย สารโมเลกุลใหญ่ให้มีขนาดเล็กลง เช่น การย่อยสลาย แบ่งเป็นน้ำตาลกลูโคส การย่อยสลายไขมันเป็นกรด ไขมัน และ การย่อยสลายโปรตีนเป็นกรดอะมิโน จาก

นั้นโมเลกุลขนาดเล็กจะถูกเปลี่ยนเป็นกรดอินทรีชนิด ต่างๆ ในกระบวนการอะซิโตเจนิส และกรดอินทรี ที่เกิดขึ้นจะถูกจุลทรรศน์ย่อยสลายเป็นกรดอะซิติก แก๊ส ไฮโดรเจน และแก๊สคาร์บอนไดออกไซด์ผ่านกระบวนการ อะซิโตเจนิส จนกระทั่งในขั้นตอนสุดท้าย กรดอะซิติกถูกหมักจนกลายเป็นแก๊สมีเทน และแก๊ส คาร์บอนไดออกไซด์ในกระบวนการเมทานเจนิส [3]

ในงานวิจัยนี้ทำการศึกษาการย่อยสลายสาร อินทรีประเภทอาหารเข้มข้นที่ผ่านและไม่ผ่าน การบดด้วยเชื้อจุลทรรศน์ผสมในกระบวนการหมักแบบ ไร้อากาศ ภายใต้อุณหภูมิมีโซลิก (37 องศาเซลเซียส) ที่ไม่มีการควบคุมความเป็นกรดด่าง (pH) และมีการ ควบคุมค่าความเป็นกรดด่างของเศษอาหารเข้มข้นที่ 6.20 และ 7.00

2. วิธีการศึกษา

2.1 เทคนิคการวิเคราะห์และทดสอบ

องค์ประกอบของแก๊สที่เกิดขึ้นในระบบมีการ วิเคราะห์สองจุดคือ ก่อนและหลังที่แก๊สผ่านสารละลาย โซเดียมไฮดรอกไซด์ ด้วยเครื่องมือแก๊สโครม่าโทรกราฟ (GC, Auto System GC, Perkin-Elmer) ที่มีเครื่อง ตรวจวัดชนิด (Thermal Conductivity, TCD) สภาพ ของเครื่องแก๊สโครม่าโทรกราฟแสดงในงานวิจัยก่อน หน้า [4] นอกจากนี้ยังมีการวิเคราะห์หาปริมาณ ของกรดอินทรีทั้งหมดด้วยเครื่องโครม่าโทรกราฟ ของเหลวสมรรถนะสูง (High Performance Liquid Chromatography, HPLC) สภาพของเครื่องแก๊ส โครม่าโทรกราฟของเหลวสมรรถนะสูงแสดงในงานวิจัย ก่อนหน้า [5] ขนาดอนุภาคและพื้นที่ผิวของเศษอาหาร ก่อนและ หลังหมักวิเคราะห์ด้วยเครื่อง Mastersizer 3000 การวิเคราะห์ค่าซีไอดีจะใช้วิธีไดโครเมต ส่วน ปริมาณในตอร์เจน และปริมาณฟอสฟอรัสวิเคราะห์ด้วย Diazotization Cadmium Reduction และ Acid Persulfate Digestion ตามลำดับ [6] อีกทั้งยังมีการ วิเคราะห์ความเข้มข้นของเชื้อจุลทรรศน์ ปริมาณไนโตรเจน

และปริมาณสารอินทรีย์ทั้งหมดในระบบหมัก (Mixed Liquor Volatile Suspended Solid, MLVSS) ด้วยวิธีมาตรฐาน [6]

2.2 การเตรียมตัวกอนหัวเชื้อ

ตัวกอนหัวเชื้อที่ใช้ในงานวิจัยนี้ มาจากกระบวนการบำบัดน้ำเสียของโรงงานผลิตเอทานอล จำกัด จังหวัดอุบลราชธานี ประเทศไทย นำตัวกอนหัวเชื้อมากรองเพื่อกำจัดเศษหินและทรัพย์ออก จากนั้นนำตัวกอนหัวเชื้อที่ได้ทำการวิเคราะห์คุณสมบัติต่างๆ ดังแสดงในตารางที่ 1 ทั้งนี้ตัวกอนหัวเชื้อที่ใช้ในงานวิจัยครั้งนี้ มีความเข้มข้น 2,100 มิลลิกรัมต่อลิตร และเก็บรักษาที่อุณหภูมิ 3 องศาเซลเซียส

ตารางที่ 1 คุณสมบัติของตัวกอนหัวเชื้อที่ใช้ในงานวิจัย

คุณลักษณะ	ค่า
ปริมาณของแข็งทั้งหมด (Total Suspended Solid, TSS) (mg/l)	54,000
ปริมาณสารอินทรีย์ทั้งหมด (Total Volatile Solid, TVS) (mg/l)	48,000
ปริมาณไนโตรเจนทั้งหมด (Total Nitrogen, N) (mg/l)	745.55

2.3 การเตรียมเศษอาหารเข้มข้น

เศษอาหารเข้มข้นที่ใช้ในงานวิจัยนี้ ได้จากร้านสลัดพิกุล อาคารจุฬาภรณ์ คณะวิทยาศาสตร์มหาวิทยาลัยแม่โจ้ เชียงใหม่ ประเทศไทย ทำการตรวจ

วัดขนาดอนุภาคและพื้นที่ผิวน้ำเริ่มต้น เมื่อนำมาลดขนาดด้วยเครื่องปั่นที่ 900 รอบต่อนาที เป็นเวลา 15 นาที ทำการตรวจขนาดอนุภาคและพื้นที่ผิว เศษอาหารเข้มข้นถูกเก็บรักษาที่อุณหภูมิ 3 องศาเซลเซียสก่อนนำไปใช้งานทุกครั้ง จากนั้นนำเศษอาหารเข้มข้นไปตรวจคุณลักษณะเบื้องต้น ดังแสดงในตารางที่ 2

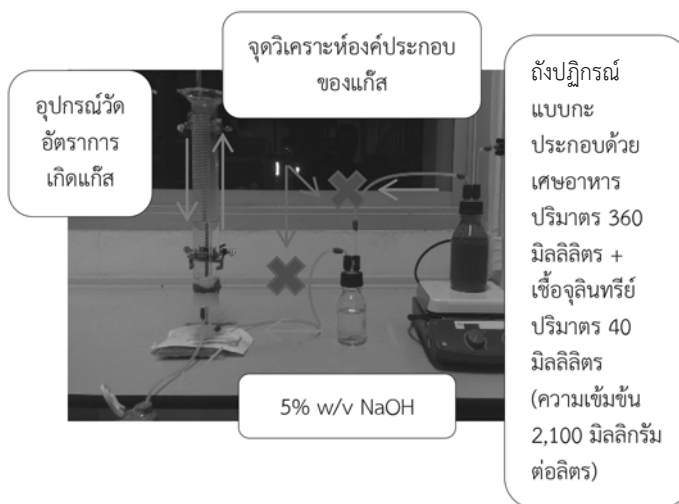
จากคุณลักษณะเบื้องต้นของเศษอาหารเข้มข้นพบว่าเศษอาหารเข้มข้นที่ใช้ในงานวิจัยนี้มีอัตราส่วนระหว่าง COD:N:P มากกว่าทฤษฎี (อัตราส่วนระหว่าง COD:N:P ทางทฤษฎีสำหรับกระบวนการหมักแบบไร้อากาศค่าเท่ากับ 100:1.0:0.2 [4] แสดงให้เห็นว่าเศษอาหารเข้มข้นที่ใช้มีสารอาหารประเภทไนโตรเจนและฟอฟอรัสที่เพียงพอต่อการเจริญเติบโตของเชื้อจุลินทรีย์ [7]

2.4 การติดตั้งระบบหมักแบบกะ

ในกระบวนการหมักแบบไร้อากาศจะใช้ถังปฏิกรณ์แบบกะ (Batch Reactor) ซึ่งประกอบด้วยขวดแก้วขนาด 500 มิลลิลิตร ที่มีการกวนด้วยแม่เหล็ก (250 รอบต่อนาที) เพื่อให้ระบบอยู่ในรูปสารแขวนลอยภายในถังปฏิกรณ์ประกอบด้วยสารอินทรีย์ประเภทเศษอาหารเข้มข้น 360 มิลลิลิตร และเชื้อจุลินทรีย์ผสม (ที่มีความเข้มข้น 2,100 มิลลิกรัมต่อลิตร) ปริมาตร 40 มิลลิลิตร ส่วนบนของถังปฏิกรณ์มีท่อเชื่อมต่อกับสารละลายน้ำซึ่งได้เตรียมไว้ด้วยอัตราการกวน 5 %w/v ก่อนที่จะทำการวัดอัตราการกวนโดยเก็บตัวอย่างหลังการแทนที่น้ำดังแสดงในรูปที่ 1

ตารางที่ 2 คุณสมบัติของเศษอาหารเข้มข้นที่ผ่านการปั่น 900 รอบต่อนาที กับเศษอาหารที่ไม่ผ่านการปั่น

ลักษณะ	ค่า (ပดที่ความเร็ว 900 รอบต่อนาที เป็นเวลา 15 นาที)	ค่า (ไม่ผ่านการบด)
Chemical Oxygen Demand (COD) (mg/l)	186,000	228,560
ปริมาณไนโตรเจนทั้งหมด (Total Nitrogen, N) (mg/l)	3,300	3,560
ปริมาณฟอฟอรัสทั้งหมด (Total Phosphorous, P) (mg/l)	2,500	2,680
ปริมาณของแข็งทั้งหมด (Total Solid, TS) (mg/l)	218,000	218,000
ปริมาณสารอินทรีย์ทั้งหมด (Volatile Solid, VS) (mg/l)	212,000	212,000
ปริมาณไขมันทั้งหมด (%)	3.78	3.89
ค่าความเป็นกรดด่าง (pH)	3.86	4.02
ขนาดอนุภาค (mm)	0.119	0.229
พื้นที่ผิว (m^2/kg)	236.05	172.3
COD:N:P	100:1.77:1.34	100:1.55:1.17



รูปที่ 1 แสดงองค์ประกอบของระบบการหมักเศษอาหารเข้มข้น

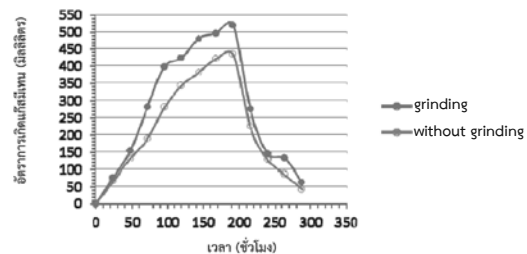
3. ผลการศึกษาและอภิปรายผล

3.1 ผลของขนาดอนุภาคต่อประสิทธิภาพการย่อยสลายเศษอาหารเข้มข้น

จากการศึกษาประสิทธิภาพการย่อยสลายเศษอาหารเข้มข้นภายใต้สภาวะไร้อากาศที่อุณหภูมิมีโซโนฟิกของกระบวนการผลิตแก๊สชีวภาพ พบร่วมความสามารถของเชื้อจุลินทรีย์ในการย่อยสลายเศษอาหารเข้มข้นที่ผ่านการบดสูงกว่าเศษอาหารเข้มข้นที่ไม่ผ่านการบดส่งผลทำให้อัตราการย่อยสลายสารอินทรีย์ (%COD Removal) ของเศษอาหารเข้มข้นที่ผ่านการบดมากกว่าเศษอาหารเข้มข้นที่ไม่ผ่านการบดคิดเป็นร้อยละ 18.81 การบดเศษอาหารเป็นการลดขนาดอนุภาคให้เล็กลง (1.15 เท่า) และเป็นการเพิ่มพื้นที่ผิวสัมผัสระหว่างเศษอาหารกับเชื้อจุลินทรีย์ (พื้นที่ผิวสัมผัสรเพิ่มขึ้นประมาณ 1.37 เท่า) จึงทำให้เชื้อจุลินทรีย์สามารถเคลื่อนที่เข้าใกล้เศษอาหารได้ง่ายและสามารถย่อยสลายได้ดีขึ้น [8] การย่อยสลายสารอินทรีย์ที่มากขึ้นส่งผลทำให้การเจริญเติบโตของเชื้อจุลินทรีย์สูงขึ้นด้วย (ความเข้มข้นเชื้อจุลินทรีย์ในระบบเพิ่มขึ้น 1.03 เท่า) เนื่องจากมีการใช้สารอาหารหลักคือไนโตรเจนและฟอฟอรัสที่มีอยู่ในเศษอาหารเข้มข้นในการเจริญเติบโต (ตารางที่ 3) มากไปกว่าหนึ่งปัจจัยว่าองค์ประกอบของไขมันที่มีอยู่ในเศษอาหารเข้มข้นนี้สามารถย่อยสลายแบบร็อกอากาศ ณ อุณหภูมิมีโซโนฟิก ได้ดีขึ้นคิดเป็นร้อยละ 53.72

การเปรียบเทียบอัตราการเกิดแก๊สจากการหมักเศษอาหารเข้มข้นที่ผ่านและไม่ผ่านการบดภายใต้สภาวะที่มีการควบคุมค่าความเป็นกรดด่างที่ 7.00 พบว่าการหมักเศษอาหารเข้มข้นที่ผ่านการบดมีอัตราการเกิดแก๊สมีเทนสูงกว่าเศษอาหารเข้มข้นไม่ผ่านการบดและมีค่าสูงสุดที่ชั่วโมงที่ 180 ซึ่งคิดเป็นร้อยละ 20.45 สำหรับเวลาที่มากกว่า 180 ชั่วโมง อัตราการเกิดแก๊สมีเทนจะลดลงอย่างรวดเร็ว ดังแสดงรูปที่ 2 ทั้งนี้อัตราการเกิดแก๊สมีเทนที่มีลดลงอย่างรวดเร็วนั้นเนื่องมาจาก

ขนาดอนุภาคที่เล็กเกินไปของเศษอาหารเข้มข้นทำให้เกิดการเพิ่มอัตราการย่อยสลายสารอินทรีย์ จนกระทั่งเกิดกรดอินทรีย์สะสมในระบบ ซึ่งจะกล่าวในตอนต่อไป



รูปที่ 2 อัตราการเกิดแก๊สมีเทนจากเศษอาหารเข้มข้นที่ผ่านและไม่ผ่านการบดภายใต้สภาวะความเป็นกรดด่างที่ 7.00

3.2 ผลของค่าความเป็นกรดด่าง (pH) ต่อประสิทธิภาพการย่อยสลายเศษอาหารเข้มข้น

จากการศึกษาประสิทธิภาพการย่อยสลายเศษอาหารเข้มข้นในระบบที่ผ่านการบดสูงกว่าเศษอาหารเข้มข้นในระบบที่ไม่ผ่านการบด จึงมีการศึกษาเพิ่มเติมถึงผลของค่าความเป็นกรดด่างต่อประสิทธิภาพการย่อยสลายเศษอาหารเข้มข้นที่ผ่านการบดโดยแบ่งออกเป็น 3 ระบบ คือ ระบบที่ไม่ควบคุมค่าความเป็นกรดด่าง ระบบควบคุมค่าความเป็นกรดด่างที่ 6.20 และระบบควบคุมค่าความเป็นกรดด่างที่ 7.00 จะเห็นได้ว่าระบบที่ไม่มีการควบคุมค่า pH หมายถึง ระบบจะมีค่า pH ประมาณ 4.00 ซึ่งเป็นสภาวะที่อัตราการย่อยสลายเศษอาหารเข้มข้นเป็นไปอย่างช้าๆ ในขณะที่ประสิทธิภาพการย่อยสลายเศษอาหารเข้มข้นของระบบที่ค่า pH เท่ากับ 7.00 มีประสิทธิภาพสูงที่สุดซึ่งคิดเป็นร้อยละ 50.55 การควบคุมความเป็นกรดด่างของระบบหมักจะสัมพันธ์กับประสิทธิภาพการทำงานของเชื้อจุลินทรีย์โดยตรง คือ เมื่อค่า pH เพิ่มขึ้นความเข้มข้นของเชื้อจุลินทรีย์ในระบบมีค่าเพิ่มขึ้นส่งผลทำให้

อัตราการเกิดแก๊สเมทีนเพิ่มสูงขึ้น (รูปที่ 3) สอดคล้องกับ % COD Removal และปริมาณการใช้สารอาหารในการเจริญเติบโตที่เพิ่มขึ้น (ตารางที่ 4) เนื่องจากเชื้อจุลินทรีย์แต่ละชนิดมีสภาพะในการดำรงชีวิตแตกต่างกัน คือ ความเป็นกรดด่างประมาณ 7.00 เป็นสภาพะที่เหมาะสมต่อการเจริญเติบโตของเชื้อจุลินทรีย์ชนิดผลิตมีเทน ส่วนความเป็นกรดด่างประมาณ 5.00 นั้นเป็นสภาพะที่เหมาะสมต่อการเจริญเติบโตของเชื้อจุลินทรีย์ชนิดผลิตกรด (หรือผลิตไออกไซโดเรเจน) เป็นต้น สำหรับค่า pH ที่ต่ำกว่า 5.00 เป็นสภาพะที่ไม่เหมาะสมต่อการเจริญเติบโตของเชื้อจุลินทรีย์ชนิดผลิตมีเทน [9]

ตารางที่ 3 คุณลักษณะของเศษอาหารเข้มข้นที่ผ่านการบดเมื่อผ่านการบดเมื่อผ่านกระบวนการหมัก

คุณลักษณะ	อัตราการย่อยสลายสารอินทรีย์ (%)	การใช้ในโครงสร้าง (%)	การใช้ฟอสฟอรัส (%)	MLVSS (mg/l)	ความเข้มข้นของสารอินทรีย์ (mg/l)
ผ่านการบด (pH=7.00)	48.63	10.02	13.33	54.000	2,788
ผ่านการบด (pH=6.20)	40.40	9.95	12.50	70.000	1,840
ผ่านการบด (ไม่ควบคุม pH)	32.30	11.02	12.00	184,640	1,130

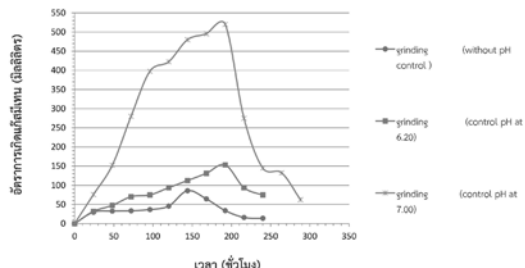
ในระหว่างกระบวนการหมักเศษอาหารที่ผ่านการบดทำให้ขนาดอนุภาคลดลงเป็น 0.089 มิลลิเมตร ซึ่งขนาดอนุภาคของเศษอาหารเข้มข้นที่ลดลงจาก 0.119 มิลลิเมตร เป็น 0.089 มิลลิเมตร นั้นมักเป็นตัวกระตุ้นให้เกิดกระบวนการไฮโดรไลซิสและแอลซิโดเจนิสสูงขึ้นเนื่องจากโอกาสของเชื้อจุลินทรีย์ในการย่อยสลายเศษอาหารมีมากขึ้น ส่งผลทำให้อัตราการย่อยสลายเศษอาหารเข้มข้นเร็วขึ้นและเกิดกรดอินทรีย์ (VFA) ในปริมาณมากขึ้นซึ่งเป็นสาเหตุให้อัตราการเกิดแก๊สเมทีน (สมการที่ 1) ต่ำกว่าอัตราการเกิดกรดอะซิติก (สมการที่ 2-4) [7] จึงเป็นสาเหตุทำให้ค่า pH ลดลง ($pH < 5.00$) และค่า pH ที่ลดลงเกิดจากกรดอินทรีย์ที่ไม่สามารถถ่ายสารได้จนกระทั่งถูกสมานในระบบ และอัตราการผลิตแก๊สต่ำลงตามลำดับ [2] นอกจากนี้ยังมีปัจจัยอื่นที่ส่งผลทำให้อัตราการผลิตแก๊สต่ำนั่นคือ แอมโมเนียม (NH_4^+)

ที่เกิดจากการย่อยสลายโปรตีนอีกด้วย [10]



ตารางที่ 4 คุณลักษณะเศษอาหารของระบบที่ผ่านการบดเศษอาหารเข้มข้น

คุณลักษณะ	อัตราการย่อยสลายสารอินทรีย์ (%)	การใช้ในโครงสร้าง (%)	การใช้ฟอสฟอรัส (%)	MLVSS (mg/l)	ความเข้มข้นของสารอินทรีย์ (mg/l)
ผ่านการบด	48.63	10.02	13.33	54.000	2,788
ไม่ผ่านการบด	40.93	8.00	10.04	56.000	2,697



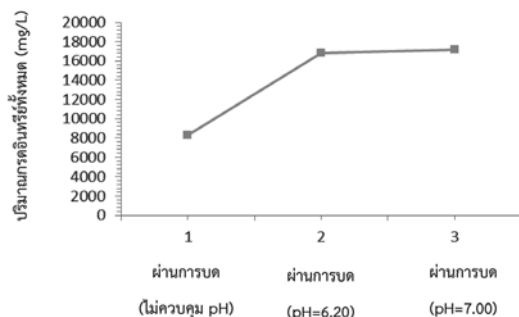
รูปที่ 3 อัตราการเกิดแก๊สเมทีนของเศษอาหารเข้มข้นที่ผ่านการบดในระบบควบคุม pH

3.3 กรดอินทรีย์ทั้งหมด (Volatile Fatty Acid, VFA)

ปริมาณกรดอินทรีย์ทั้งหมดระหว่างการหมักเศษอาหารเข้มข้นที่ผ่านและไม่ผ่านการบดแสดงในรูปที่ 4 ความเข้มข้นของกรดอินทรีย์ทั้งหมดเพิ่มขึ้นเมื่อค่า pH มีเพิ่มสูงขึ้น และมีค่าสูงที่สุดที่ pH 7.00 จะเห็นว่าระบบที่ไม่ควบคุมความเป็นกรดด่างมีปริมาณกรดอินทรีย์ต่ำกว่าระบบที่ควบคุมความเป็นกรดด่างซึ่งสอดคล้องกับอัตราการผลิตแก๊สเมทีนที่ต่ำลงเนื่องจากปริมาณกรดโพธิโอนิกและกรดบิวทีริกมีปริมาณน้อยจึงทำให้กรดอะซิติกและผลิตภัณฑ์แก๊สลดน้อยลง

(สมการ 1, 3-4) ซึ่งอาจเกิดจากสภาพที่ไม่เหมาะสม ต่อการเจริญเติบโตของเชื้อจุลินทรีย์ ($\text{pH} < 4.00$) จนทำให้ประสิทธิภาพการทำงานของเชื้อจุลินทรีย์ต่ำลง และไม่สามารถย่อยสลายเศษอาหารได้

การลดลงของประสิทธิภาพการทำงานของเชื้อจุลินทรีย์นั้น เป็นผลมาจากการเจริญเติบโต ทว่าทางตรง กันข้ามระบบที่มีการควบคุมความเป็นกรดด่างจะผลิตกรดอินทรีย์ที่เกี่ยวข้องกับการผลิตแก๊สเมทีนในปริมาณมาก เช่น กรดโพพริโนนิก กรดบิวทิริก กรดแลคติก และกรดอะซิติก (รูปที่ 5) เมื่อปริมาณของกรดดังกล่าวมีปริมาณมากส่งผลให้เชื้อจุลินทรีย์สามารถเปลี่ยนกรดเหล่านี้เป็นแก๊สเมทีนได้ง่ายขึ้น โดยเฉพาะอย่างยิ่งกรดแลคติก ทั้งนี้เกิดเมื่อเท่านั้นที่ผ่านกระบวนการแยกตัวของกรดอะซิติกเป็นหลัก ดังสมการที่ 1 [11]

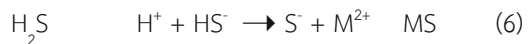
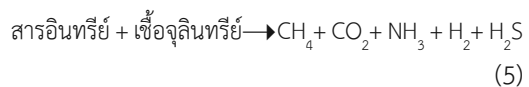


รูปที่ 4 ปริมาณความเข้มข้นของกรดอินทรีย์ทั้งหมด ในแต่ละระบบ

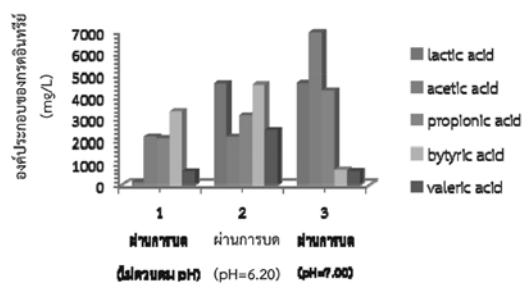
3.4 ลักษณะทางกายภาพของเศษอาหารเข้มข้น

ลักษณะทางกายภาพของเศษอาหารเข้มข้นที่ผ่านการบดก่อนและหลังการหมักแสดงในรูปที่ 6 เศษอาหารเข้มข้นเริ่มน้ำสีเหลืองอ่อนและเมื่อผสมกับ

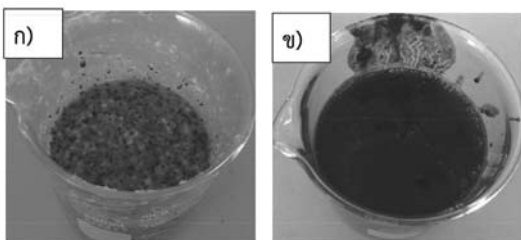
ตะกอนหัวเชื้อจุลินทรีย์ทำให้เศษอาหารเข้มข้นเริ่มน้ำสีเหลืองเข้มขึ้น (รูปที่ 6ก) จากการศึกษาแสดงให้เห็นว่าภายในระบบหมักออกจากระบวนการผลิตแก๊สเมทีนแล้วยังเกิดกระวนการเกิดแก๊สไฮโดรเจนชัลไฟฟ์ด้วยดังแสดงในสมการที่ 5 [12] โดยการเกิดแก๊สไฮโดรเจนชัลไฟฟ์สามารถสังเกตได้จากสีที่เปลี่ยนไปของเศษอาหารเข้มข้นหลังการหมัก คือ เปลี่ยนจากสีเหลืองเป็นสีดำ (รูปที่ 6ข) ซึ่งเกิดจากการแตกตะกอนของโลหะชัลไฟฟ์ในระบบได้แก่เหล็กชัลไฟฟ์ แมงกานีสชัลไฟฟ์ โมลิบดินัมชัลไฟฟ์ สังกะสีชัลไฟฟ์ โคบอลต์ชัลไฟฟ์ ชิลิเนียมชัลไฟฟ์ พังส์ตันชัลไฟฟ์ และนิกเกิลชัลไฟฟ์ ดังแสดงในสมการที่ 6 [13] โดยองค์ประกอบของโลหะเหล่านี้ที่มีอยู่ในเศษอาหารเข้มข้นทำหน้าที่เป็นสารอาหารรองที่เชื้อจุลินทรีย์ต้องการในปริมาณน้อยเพื่อการเจริญเติบโต แต่ขาดไม่ได้



เมื่อ M^{2+} คือ สารอาหารรองประเภทโลหะ



รูปที่ 5 ความเข้มข้นขององค์ประกอบของกรดอินทรีย์ในแต่ละระบบ



รูปที่ 6 ลักษณะทางกายภาพของเศษอาหารเข้มข้น
ที่ผ่านการบด (ก) ก่อนการทดลอง
(ข) หลังการทดลอง

4. สรุป

จากการศึกษาการย่อยสลายสารอินทรีย์ประเภทเศษอาหารเข้มข้นที่ผ่านและไม่ผ่านการบดด้วยเชื้อจุลินทรีย์ผสมในกระบวนการหมักแบบไร้อากาศ ภายใต้อุณหภูมิ室温 (37 องศาเซลเซียส) ที่ไม่มีการควบคุมความเป็นกรดด่าง (pH) และมีการควบคุมค่าความเป็นกรดด่างของเศษอาหารเข้มข้นที่ 6.20 และ 7.00 พบร่วงประสิทธิภาพของเชื้อจุลินทรีย์ในการย่อยสลายเศษอาหารเข้มข้นที่ผ่านการบดสูงกว่าเศษอาหารที่ไม่ผ่านการบดเป็นผลทำให้อัตราการย่อยสลายสารอินทรีย์ของเศษอาหารเข้มข้นที่ผ่านการบดสูงกว่าเศษอาหารเข้มข้นที่ไม่ผ่านการบดคิดเป็นร้อยละ 18.81 และยังส่งผลให้เชื้อจุลินทรีย์มีการเจริญเติบโตได้ดีขึ้น โดยมีค่าความเข้มข้นของเชื้อจุลินทรีย์ในระบบเพิ่มขึ้น 1.03 เท่า สามารถระบุได้ว่าค่าความเป็นกรดด่างเริ่มต้นที่ pH 7.00 เป็นสภาวะที่เหมาะสมต่อประสิทธิภาพการทำงานของเชื้อจุลินทรีย์

5. กิตติกรรมประกาศ

ขอขอบคุณ สาขาวิชาเคมีอุตสาหกรรมและเทคโนโลยีสิ่งทอ คณะวิทยาศาสตร์ มหาวิทยาลัยแม่โจ้ ที่เอื้อเพื่อห้องปฏิบัติการในการทำงานวิจัยตลอดจนให้ความอนุเคราะห์เครื่องมือ สารเคมี และอุปกรณ์ต่างๆ รวมไปถึงวิทยาลัยปิโตรเลียม จุฬาลงกรณ์มหาวิทยาลัย ที่ให้ความอนุเคราะห์เครื่องมือในการวิเคราะห์สาร

ตัวอย่าง ขอขอบคุณทุนนักวิจัยรุ่นใหม่ (มจ. 3-58-01) ในการให้ทุนสนับสนุนงบประมาณในการทำวิจัย และร้านอาหารครัวพิกุล มหาวิทยาลัยแม่โจ้ สำหรับเศษอาหารเข้มข้นที่ใช้เป็นสารอินทรีย์และบริษัทอุบลไบโอดีเซล จำกัด จังหวัดอุบลราชธานี ประเทศไทย สำหรับตักถอนหัวเชื้อ

6. เอกสารอ้างอิง

- [1] National Science and Technology Development Agency: NSTDA. (2014). Fossil fuel drives living on the earth [online]. Available: <http://nstda.or.th/ruralpublic/100%20articles-stkc/11.pdf>
- [2] Biomass of Asia Handbook. (2014). Chapter 5 Biochemical change of biomass [Online]. Available: http://www.jie.or.jp/biomass/AsiaBiomassHandbook/Thai/Part-5_T.pdf
- [3] A. Tasneem, S.M. Tauseef and S.A. Abbasi, “Anaerobic digestion for global warming control and energy generation-an overview,” *Renewable and Sustainable Energy*, vol. 16, pp. 3228–3242, 2012.
- [4] I. Patcharee, R. Pramoch, N. Weerachart, T. Bandhit, C. Jittipan and C. Sumaeth, “Hydrogen production from alcohol wastewater by an anaerobic sequencing batch reactor under thermophilic operation: Nitrogen and phosphorous uptakes and transformation,” *International journal of hydrogen energy*, vol. 37, pp. 11104–11112, 2012.
- [5] S. N. Nhatthaphon, C. Sumaeth and I. Patcharee, “Enhancement of hydrogen and methane production from ethanol

- wastewater by microaeration,” in *Proceedings of The 6th Research Symposium on Petrochemical and Materials Technology and The 21st PPC Symposium on Petroleum, Petrochemical, and Polymers*, Bangkok, Thailand, 2015, pp. 168-173.
- [6] I. Patcharee, S. Thitiporn, L. Malinee, G. Erdogen and C. Sumaeth, “Hydrogen production from alcohol wastewater with added fermentation residue by an anaerobic sequencing batch reactor (ASBR) under thermophilic operation,” *International journal of hydrogen energy*, vol. 39, pp. 9611–9620, 2014.
- [7] M. Chunlan, F. Tongzhong, W. Xiaojiao and R. Guangxin, “Review on research achievements of biogas from an aerobic digestion,” *Renewable and Sustainable Energy Reviews*, vol. 45, pp. 540–555, 2015.
- [8] I. Kouichi, O. Yu-Ki, N. Norio, N. Chiaki, Y. Shuichi and T. Tatsuki, “Effects of particle size on anaerobic digestion of food waste,” *International Biodeterioration & Biodegradation*, vol. 64, pp. 601-608, 2010.
- [9] R. Chavalit and M. Panlekha, “Comparative assessment of prototype digester configuration for biogas recovery from anaerobic co-digestion of food waste and rain tree leaf as feedstock,” *International Biodeterioration & Biodegradation*, vol. 113, pp. 367–374, 2016.
- [10] Z. Cunsheng, S. Haijia, B. Jan and T. Tianwei, “Reviewing the anaerobic digestion of food waste for biogas production,” *Renewable and Sustainable Energy Reviews*, vol. 38, pp. 383–392, 2014.
- [11] Y. Jingqing, L. Dong, S. Yongming, W. Guohui, Y. Zhenhong, Z. Feng and W. Yao, “Improved biogas production from rice straw by co-digestion with kitchen waste and pig manure,” *Waste Management*, vol. 33, pp. 2653–2658, 2013.
- [12] M. Buranasak, “Biogas energy usage for energy management,” *Technology Promotion Journal*, vol. 36, pp. 060-067, 2008.
- [13] P. Maimansomsuk. (2017). Analysis of sulfide in water [Online]. Available: <http://www2.diw.go.th>